

§4 EIGENSCHAFTEN DIFFBARER FKT

4.1 INTRO. Nachdem im vorigen § der Differentiierbarkeit -

begriff für Fkt $f: \mathbb{R}^n \supseteq G \rightarrow \mathbb{R}^m$ genau beleuchtet wurde werden wir in diesem § [und p. zu 13] §2] Anwendungen der mehrdim. Differentialrechnung behandeln.

Genauer werden wir die folgenden 5 Themen studieren

(1) Mittelwertsatz. In 1-d hat sich der Mittelwertsatz als entscheidendes Werkzeug herauskristallisiert, das hinter vielen Resultaten steckt - bis hinauf zur Bew. 3.8, 3.20. Hier werden wir Verallgemeinerungen bzw. Abschwächungen des i.w.S. kennen lernen

(2) Taylorentwicklung. In 15] §3 haben wir den Satz v. Taylor kennen gelernt, der es ermöglicht Fkt aus ihren Ableitungen in einem Pkt zu rekonstruieren - Er bleibt im Wesentlichen für $f: \mathbb{R}^n \supseteq G \rightarrow \mathbb{R}^m$ gültig

(3) Satz über implizite Fkt: Eine Fkt $f: \mathbb{R}^2 \supseteq G \rightarrow \mathbb{R}$ lässt sich als "Gandtschaft" interpretieren. Hier gehen wir der höchst relevanten Frage nach, wann sich die Höhenlinien als Fkt einer Variable schreiben lassen bzw. welche Eigenschaften diese Fkt haben.

(4) Ableitung der inversen Fkt. Ebenfalls ein Thema das wir in 1-d betrachtet, geklärt & vielfach angewendet haben. Hier lernen wir die Verallgemeinerung kennen

(5) Extremwerte. Wir studieren die Extreme von Fkt $f: \mathbb{R}^n \supseteq G \rightarrow \mathbb{R}$ mit Hilfe der Differentialrechnung. Die Situation ist hier viel rechnerischer als in 1-d und die Sätze (verwendet einiges an lin. Algebra und) sind etwas schwächer als in 1-d.

Da wir hier das Ende unserer Reise in die Grundlagen der Differentialrechnung erreichen und auf diese Resultate im Rahmen des V_3 nicht weiter aufbauen werden wir die techn. Details stärker in den Hintergrund treten lassen und mehr auf die Ideen & Begriffe fokussieren - insbesondere werden wir uns oft mit dem Fall $n=2$ befassen, da er oft schon alle relevanten Aspekte beinhaltet.

4.2 MITTELWERTSÄTZE?

(i) Wie schon in 4.1(1) gesagt, ist im 1-d Fall der MWS das Werkzeug hinter vielen Resultaten (vgl. 13) 2.14, 2.17, 2.30, ...). Daher kann die Bedeutung eines analogen Satzes in der mehrdim. Analysis gar nicht überschätzt werden.

(ii) Für Fkt $f: \mathbb{R}^n \supseteq G \rightarrow \mathbb{R}$ bleibt der Satz im wesentlichen - mit den entsprechenden Anpassungen - erhalten; genauer

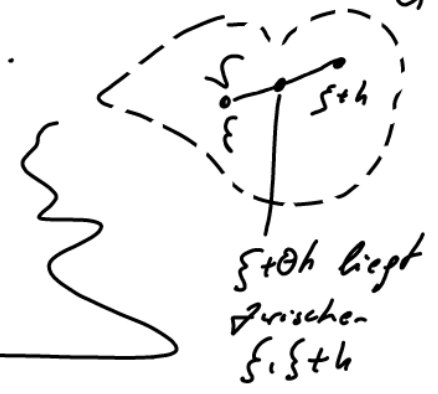
TH 17 (Mittelwertsatz) Sei $G \subseteq \mathbb{R}^n$ offen, $f: G \rightarrow \mathbb{R}$

differenzierbar auf G und seien $\xi, \xi+h \in G$ sodass auch ihre gesamte Verbindungsstrecke S in G liegt.

Dann $\exists \theta \in (0,1)$ sodass

THETA \rightarrow

$$f(\xi+h) - f(\xi) = Df(\xi+\theta h) \cdot h$$



Beweis. [Anwendung der 1-D MWS & der Kettenregel]

Wir setzen $\varphi(t) := f(\xi+th), t \in [0,1]$. $\varphi \equiv f$ längs S

3.24(iii) $\Rightarrow \varphi$ differenzierbar auf $[0,1]$ und $\varphi'(t) = Df(\xi+th) \cdot h$

1.3) 2.8 MWS $\Rightarrow \exists \theta \in (0,1)$ mit $\varphi(1) - \varphi(0) = \varphi'(\theta)$ also

$$f(\xi+h) - f(\xi) = Df(\xi+\theta h) \cdot h$$

□

(iii) Für $f: \mathbb{R}^n \rightarrow \mathbb{R}^m$ ($m > 1$) ist der Satz allerdings falsch, da die Zwischenstellen für die verschiedenen Komponenten (für die es gilt je des Thm in (ii)) durchaus verschieden sein könnten. Ein explizites Gegenbsp ist $c: [0, 2\pi] \rightarrow \mathbb{R}^2, c(t) = \begin{pmatrix} \cos(t) \\ \sin(t) \end{pmatrix}$.

Kein MWS für $m > 1$ Gegenbsp $n=1$

Es gilt $[\xi=0, h=2\pi]$

$c(0) = \begin{pmatrix} 1 \\ 0 \end{pmatrix} = c(2\pi)$ aber $\nexists \theta \in (0,1)$ mit

$$\begin{pmatrix} 0 \\ 0 \end{pmatrix} = c(2\pi) - c(0) = Dc(\theta \cdot 2\pi) \cdot 2\pi =$$

denn $Dc(t) = c'(t) = \begin{pmatrix} -\sin(t) \\ \cos(t) \end{pmatrix} \Rightarrow \|c'(t)\| = 1 \Rightarrow c'(t) \neq \begin{pmatrix} 0 \\ 0 \end{pmatrix}$

(iv) Punkt (iii) weist aber schon in Richtung einer „Ersatz-Lösung“. Wenn schon keine gemeinsame Zwischenstelle für alle Komponenten existiert, so kann man doch zumindest eine Abschätzung erreichen wenn man Schranken an alle Df_j auf der Verbindungsperiode von ξ nach $\xi+h$ zur Verfügung hat. Tatsächlich gilt

SATZ (MWS für rektanguläre Fkt) Sei $G \subseteq \mathbb{R}^n$ offen,

$f: G \rightarrow \mathbb{R}^m$ stetig diffbar auf G und seien $\xi, \xi+h \in G$ sodass ihre Verbindungsstrecke S in G liegt.

Dann $\exists M > 0$ sodass

$$\|f(\xi+h) - f(\xi)\| \leq M \|h\|$$

d.h. f ist
Lipschitz stetig
vgl. [3] 2.14 (ii)

[Dabei ist $M = \max \{ |Df_j(x)| : x \in S, 1 \leq j \leq m \}$

\exists wegen [2] 2.11

].

Beweis 7.3 Heuse II, 167.4

□

(v) Schließlich halten wir folgende wichtige Konsequenz von (iv) fest

KOROLLAR: (Ableitung = 0 \Rightarrow Fkt konst.) Sei $\xi \in \mathbb{R}^n$, $r > 0$, $G = B_r(\xi_0)$ und $f: G \rightarrow \mathbb{R}^m$ diffbar mit $Df(x) = 0 \forall x \in G$.

Dann ist f konstant auf G .

[vgl. [3] 2.14 (ii)]

ACHTUNG
Korollarbedingung
V.O.

[$B_r(\xi) = \{x : \|x - \xi\| < r\}$ ist konvex [3] 2.22 (ii) und somit liegen für je 2 Punkte die Verbindungsstrecken in $B_r(\xi)$. □]

4.3 DER SATZ VON TAYLOR kann ähnlich dem MWS entlang von Strecken für $f: \mathbb{R}^n \supseteq U \rightarrow \mathbb{R}$ aus dem Ad-Satz [5] 3.8 gefolgert werden. Sogar eine „komponentenweise Ausdehnung“ auf $f: \mathbb{R}^n \supseteq U \rightarrow \mathbb{R}^m$ ($m > 1$) ist möglich; siehe [Huso 2, 168]. Wir betrachten hier nur den 2-d Spezialfall ($n=2, m=1$).

Sei $G \subseteq \mathbb{R}^2$ offen, $\xi = (\xi_1, \xi_2) \in G$, $h = (h_1, h_2)$ so dass die Strecke $S = \{\xi + th : 0 \leq t \leq 1\}$ ganz in G liegt.

Sei $f: G \rightarrow \mathbb{R}$ eine C^3 -Fkt.



Wir betrachten f „über der Strecke S “, d.h. $\varphi: [0,1] \rightarrow \mathbb{R}$

$$\varphi(t) = f(\xi + th) = f(\xi_1 + th_1, \xi_2 + th_2)$$

Taylor AD

$$\implies \varphi(1) = \varphi(0) + \varphi'(0) + \frac{1}{2} \varphi''(0) + \mathcal{R}_3(t) \quad (*)$$

$\underbrace{\varphi(1)}_{f(\xi+th)} \quad \underbrace{\varphi(0)}_{f(\xi)}$

Wir übersetzen nun (*) in eine Gleichung für f :

3.24iii)

$$\bullet \varphi'(t) \stackrel{3.24iii)}{=} Df(\xi + th) h \implies \varphi'(0) = \underline{Df(\xi)} \cdot h = \langle \text{grad} f(\xi), h \rangle$$

$$\bullet \varphi''(t) = \frac{d}{dt} (D_1 f(\xi_1 + th_1, \xi_2 + th_2) h_1 + D_2 f(\xi_1 + th_1, \xi_2 + th_2) h_2)$$

$$= \underline{D_1 D_1 f(\xi + th)} h_1^2 + D_2 D_1 f(\xi + th) h_2 h_1$$

$$D_1^2 := \quad + D_1 D_2 f(\xi + th) h_1 h_2 + D_2 D_2 f(\xi + th) h_2^2$$

Skalarprod

$$= \left\langle \begin{pmatrix} D_1^2 f & D_2 D_1 f \\ D_1 D_2 f & D_2^2 f \end{pmatrix}(\xi + th) h, h \right\rangle$$

$$=: H(f)(\xi + th) \text{ die sog. Hesse-Matrix}$$

genauer $H(f)(\xi) = (D_i D_j f(\xi))_{i,j}$ s.7 $\implies H(f)(\xi)$ symmetrisch falls $f \in C^2$

Insgesamt erhalten wir aus (*) die TAYLOR-ENTWICKLUNG

$$f(\xi + th) = f(\xi) + \langle \text{grad} f(\xi), h \rangle$$

$$+ \frac{1}{2} \langle Hf(\xi)h, h \rangle + R_3(\xi)$$

linearer
Näherung

quadratische Form

Man kann zeigen, dass $\frac{R_3}{\|h\|} \rightarrow 0$ ($h \rightarrow 0$).

4.4 DER SATZ ÜBER IMPLIZITE FUNKTIONEN

(i) Wir betrachten folgendes Problem: Gegeben sei eine Landschaft und wir interessieren uns für die Höhenschichtlinien (etwa in einer Landkarte).

Können wir diese als Funktion darstellen & wie?

(ii) Präzisierung der Problemstellung:

Sei $f: \mathbb{R}^2 \supset G \rightarrow \mathbb{R}$ eine C^1 -Fkt.

Können wir die sog. Niveaumengen

$$\underline{N_f(c)} := \{ (x, y) \in G : f(x, y) = c \} = \underline{f^{-1}(\{c\})}$$

zumindest lokal, d.h. in einer Umgebung eines (jeder)

Punktes $\xi = (\xi_1, \xi_2) \in N_f(c)$, durch eine lfd. Fkt. beschreiben? Genauer lautet die Frage ob:

$$\exists h: U \rightarrow V \quad U \text{ Umgebung von } \xi_1, V \text{ von } \xi_2 \quad (*)$$

Sodass:

$$\left\{ f(x, y) = c \Leftrightarrow y = h(x) \quad \forall (x, y) \in U \times V \right\}$$

Abstraktes Aufstellen
Sicher unmöglich:
Keine Umpflege von Fuß
R → IR

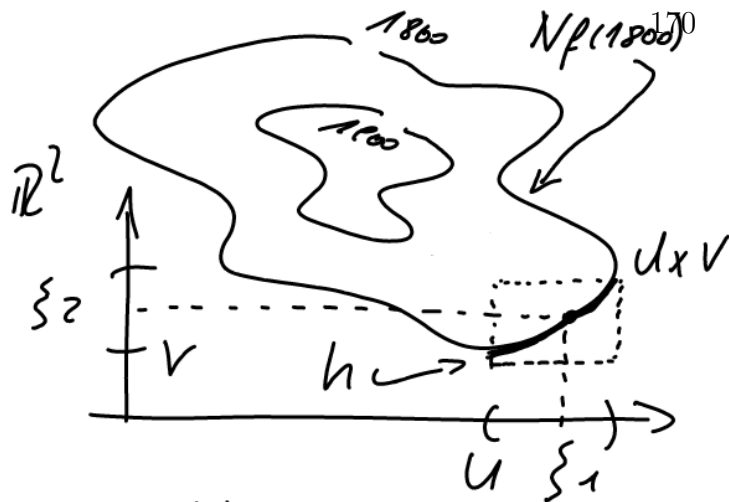


Falls (*) erfüllt ist, dann sagt man

- Wir haben die Gleichung $f(x,y) = c$ „nach y aufgelöst“

bzw

- Die Fkt h ist (falls sie eindeutig ist), „durch die Gleichung $f(x,y) = c$ implizit gegeben“



(iii) Bei der Antwort auf (ii) können wir 2 Fälle sofort ausschließen

- $c \notin f(U) \Rightarrow N_f(c) = \emptyset$ and es ist nichts zu tun

- $\text{grad } f(x) = 0$ auf eine Umgebung W von ξ

$\xRightarrow{4.2(v)}$ $f(x) = c$ auf W und $N_f(c)$ ist keine Kurve

Wir nehmen daher ab jetzt an:

$$\left\{ c \in f(U), \text{grad } f(\xi) \neq 0 \right\} \quad (**)$$

(iv) Eine notwendige Bedingung und eine Info über h'

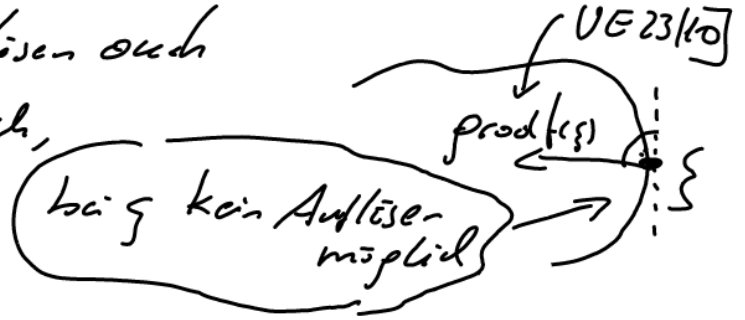
Ang (x) gilt, dann gilt $f(x, h(x)) = c \quad \forall x \in U$

Kettenregel $\Rightarrow 0 = D_1 f(x, h(x)) + D_2 f(x, h(x)) h'(x) \quad (***)$

$$\Rightarrow \overbrace{D_2 f(\xi) \neq 0}^{(***)} \text{, dann sonst } \Rightarrow D_1 f(\xi) = 0$$

$$\Rightarrow \left. \begin{aligned} h'(x) &= \frac{-D_1 f(x, h(x))}{D_2 f(x, h(x))} \\ &\Rightarrow \text{grad } f(\xi) = 0 \end{aligned} \right\} \text{ zu (**)}$$

(v) Die Bedeutung der notwendigen Bedingung $D_2 f(\xi) \neq 0$ ist, dass die Höhenschichtlinie nicht senkrecht ist; dann wäre ein Auflösen auch anschaulich nicht möglich, da der Graph der Fkt h „umdrehen“ würde.



(vi) Der Satz des Sardes über implizite Fkt ist es, dass die notwendige Bed. auch hinreichend ist.

ITH (IMPLIZITEN-SATZ) Sei $G \subseteq \mathbb{R}^2$ offen, $f: G \rightarrow \mathbb{R}$ eine C^1 -Fkt, $c \in \mathbb{R}$, $\xi = (\xi_1, \xi_2) \in G$ mit $f(\xi) = c$ und $\text{grad} f(\xi) \neq 0$.
 Falls $D_2 f(\xi) \neq 0$, dann gibt es Umgebungen U von ξ_1 und V von ξ_2 und eine Fkt $h: U \rightarrow V$ sodass $h \in C^1$ und eindeutig mit der Eigenschaft
 $\forall x, y \in U \times V: \underline{f(x, y) = c} \Leftrightarrow \underline{y = h(x)}$.

Außerdem gilt

$$h'(x) = - \frac{D_1 f(x, h(x))}{D_2 f(x, h(x))}$$

[Ein analoges Statement mit $D_1 f(\xi) \neq 0$ und $x = h(y)$ gilt ebenfalls.]

(viii) Ein BSP: $G = (0, \infty)^2$, $f(x, y) = x + y + \log(xy)$

$\xi = (1, 1)$, $c = 2$ [check: $f(1, 1) = 1 + 1 + \log(1) = 2$]

Wir wollen

$$x + y + \log(xy) = 2 \quad \text{bei } \xi = (1, 1)$$

noch y auflösen.

Es gilt: $D_2 f(x, y) = 0 + 1 + \frac{1}{xy} x = 1 + \frac{1}{y} \Rightarrow D_2 f(1, 1) = 2 \neq 0$

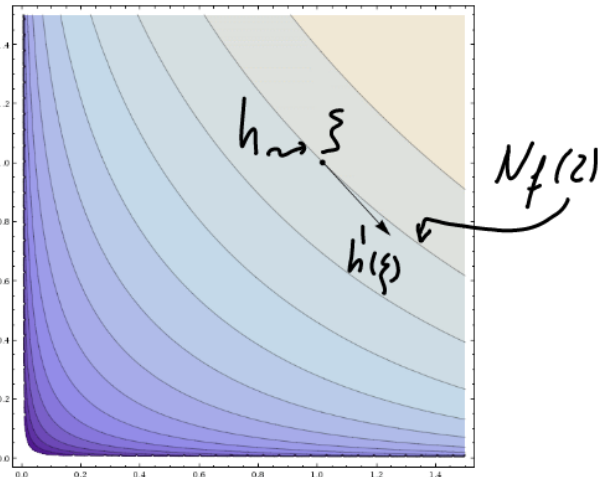
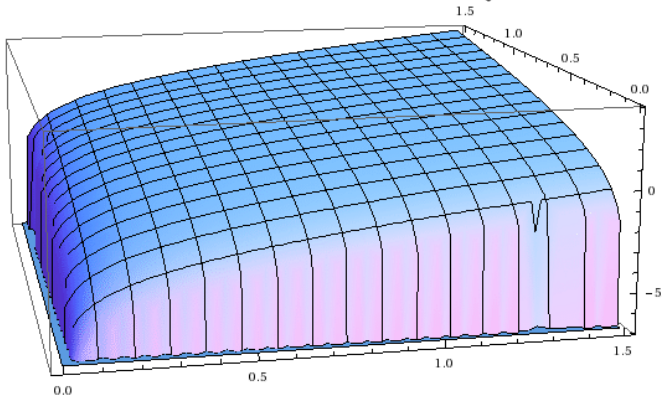
(vi) \Rightarrow f stetig diffbar nahe $x=1$ mit
 $x + h(x) + \log(x+h(x)) = 2$

ACHTUNG: Das Thm liefert nur die Existenz von h ,
 nicht aber die explizite Gestalt von h .
 Immerhin aber doch

$$h'(x) = \frac{-D_1 f(x, h(x))}{D_2 f(x, h(x))} = -\frac{1+1/x}{1+1/h(x)}$$

$$\Rightarrow h'(1) = -2/2 = -1$$

$$f(x, y) = x + y + \log(xy)$$



4.5 UMGKERSATZ (Problem der Diffbarkeit der Umkehrfkt)

(i) Wir stellen uns nun folgende Frage. Sei $G \subseteq \mathbb{R}^n$, $H \subseteq \mathbb{R}^m$
 offen, $f: G \rightarrow H$ bijektiv ($\Rightarrow \exists f^{-1}: H \rightarrow G$) & diffbar.
Ist dann $f^{-1}: H \rightarrow G$ diffbar?

(ii) i.o. NEIN, denn sei $f: (-1, 1) \rightarrow (1, \infty)$, $f(x) = e^{x^3}$

$$\Rightarrow f^{-1}(y) = \begin{cases} y^{1/3} & 0 < y < 1 \\ -|y|^{1/3} & -1 < y \leq 0 \end{cases}$$

nicht diffbar bei $y=0$



$$\left[h \rightarrow 0: \frac{1}{h} (f^{-1}(h) - f^{-1}(0)) = \frac{1}{h} f^{-1}(h) = \frac{h^{1/3}}{h} = h^{-2/3} \rightarrow \infty (h \rightarrow 0) \right]$$

(ii) Falls JA, dann muß $m=n$ und $Df(x)$ invertierbar sein!

Denn es gilt

$$f^{-1} \circ f(x) = x \quad \forall x \in U; \quad f \circ f^{-1}(y) = y \quad \forall y \in H$$

(Identische
Matrix auf
 \mathbb{R}^m)

Kettenregel $\Rightarrow Df^{-1}(f(x)) Df(x) = I_n; \quad Df(f^{-1}(y)) Df(y) = I_m$

$$\Rightarrow Df(x) \text{ injektiv [Satz 4.3.32(2)]} \Rightarrow n \leq m$$

$$\Rightarrow Df^{-1}(y) \text{ injektiv} \Rightarrow m \leq n \quad \left. \begin{array}{l} \Rightarrow m=n \\ \text{und somit} \end{array} \right\}$$

$$\Rightarrow \underline{D(f^{-1})(f(x)) = (Df(x))^{-1}}$$

Df bijektiv

(iii) Invertieren vs Auflösen: Dem Invertieren von f entspricht das Auflösen von $f(x)=y$ nach x bzw. das Auflösen von $F(x,y) := f(x)-y=0$ nach x .
Daher läßt sich der Impliziten-Satz 4.4(vii) verwenden um folgenden Umkehrsatz zu beweisen

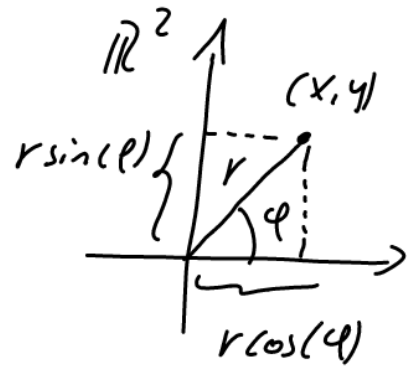
(iv) THM (Umkehrsatz) Sei $G \subseteq \mathbb{R}^n$ offen, $f: G \rightarrow \mathbb{R}^n \in \mathcal{C}^1$
 $\xi \in G$ mit $Df(\xi)$ invertierbar. Dann gibt es Umgebungen
 U von ξ und V von $f(\xi)$ sodass $f: U \rightarrow V$ bijektiv ist
und $f^{-1}: V \rightarrow U$ stetig diffbar mit inv. Matrix
$$Df^{-1}(f(x)) = (Df(x))^{-1} \quad \forall x \in U.$$

(v) Diffeomorphismen. Abbildungen wie in (iv) heißen
(lokale) Diffeomorphismen; genauer
 $f: U \rightarrow V$ bijektiv, \mathcal{C}^1 mit \mathcal{C}^1 -Inverse heißt \mathcal{C}^1 -Diffeo-

morphismus [onstet, C^k -Diffeo, C^∞ -Diffeo.]

(vi) BSP (POLARKOORDINATEN)

$$f: G = (0, \infty) \times \mathbb{R} \rightarrow \mathbb{R}^2, f(r, \varphi) = \begin{pmatrix} r \cos(\varphi) \\ r \sin(\varphi) \end{pmatrix}$$



$$\text{ist } C^1 \text{ und } Df(r, \varphi) = \begin{pmatrix} \cos(\varphi) & -r \sin(\varphi) \\ \sin(\varphi) & r \cos(\varphi) \end{pmatrix}$$

$$\Rightarrow \det(Df(r, \varphi)) = r(\cos^2(\varphi) + \sin^2(\varphi)) = r > 0$$

$\Rightarrow Df(r, \varphi)$ invertierbar $\forall (r, \varphi) \in G$

$\Rightarrow f$ ist in der Umgebung jedes Pktes $(r, \varphi) \in G$ ein Diffeo und

WARUNG: f ist global (d.h. auf G) $\left\{ \begin{array}{l} Df^{-1}(f(r, \varphi)) = \frac{1}{r} \begin{pmatrix} r \cos(\varphi) & r \sin(\varphi) \\ -\sin(\varphi) & \cos(\varphi) \end{pmatrix} \end{array} \right.$

4.6. EXTREMWERTE.

kein Diffeo

(i) Wir beschäftigen uns nun mit lok. Extremwerten von Fkt $f: \mathbb{R}^n \supseteq G \rightarrow \mathbb{R}$ [\mathbb{R}^m hätte wenig Sinn?]. Zunächst können die Definitionen aus dem 1-D Fall wortwörtlich übernommen [13] Def 2.6].

DEF (lok Extrema)

Ein Pkt $\xi \in G$ heißt lokales Maximum [Minimum], falls \exists Umgebung U von ξ mit $f(x) \leq f(\xi) \forall x \in U \cap G$ (*)
[$f(x) \geq f(\xi)$]

Ein Max [Min] heißt streikt, falls in (*) $<$ [$>$] statt \leq [\geq] gilt.

(ii) Wie im 1-d-Fall ist das Verschwinden der Ableitung eine notwendige Bedingung für ein Extremum; genauere gilt die folgende [vgl 12] Prop 2.4]

PROP (Notwendige Bedingung für Extreme) Sei $G \subseteq \mathbb{R}^n$ offen, $f: G \rightarrow \mathbb{R}$ partiell diffbar und $\xi \in G$ ein lok. Extr.
Dann gilt $\text{grad } f(\xi) = 0$.

Beweis: [Anwenden der 1-d. Sätze längs der Koordinatenachsen.]

$\forall 1 \leq i \leq n$ betrachte $\varphi_i(t) := f(\xi + t e_i)$

ξ lok. Extr. für $f \Rightarrow t=0$ lok. Extr. für φ_i

[Z] 2.4

$$\Rightarrow 0 = \varphi_i'(0) = D_i f(\xi) \Rightarrow Df(\xi) = 0 \quad \square$$

(iii) Heuristik für hinreichende Bedingung

Aus dem 1-d. Fall wissen wir, dass die notwendige Bedingung nicht hinreichend ist [vgl. [13] 2.6] sondern für "Kandidatenstellen" ξ mit verschwindender 1. Ableitung die 2. Ableitung in ξ betrachtet werden muss [13] 2.19].

Um ein analoges Vorgehen im Fall $n=2$ zu erforsuchen ziehen wir die Taylor-entwicklung 4.3(v) heran, also

$$f(\xi+h) = f(\xi) + \underbrace{\langle \text{grad } f(\xi), h \rangle}_{= 0 \text{ für "Kandidatenstellen"}} + \frac{1}{2} \langle H_f(\xi) h, h \rangle + \text{Rest}$$

Also wird das Verhalten von f nahe ξ von der Hesse-Matrix

$$H_f(\xi) = \begin{pmatrix} D_1^2 f(\xi) & D_1 D_2 f(\xi) \\ D_1 D_2 f(\xi) & D_2^2 f(\xi) \end{pmatrix} =: A$$

dominiert, genauer gilt für x nahe ξ (dort wo Rest klein)

(vi) Die Bedingungen in (v) sind wie im 1d-Fall nicht notwendig. Außerdem kann im Fall $H_f(\xi)$ (pos. oder neg.) semidefinit keine allg. Aussage gemacht werden.

(vii) BSP. $f: \mathbb{R}^2 \rightarrow \mathbb{R}$, $f(x,y) = yx^2 - y^3 + 6y^2 - 9y$

$$\text{grad } f(x,y) = (2xy, x^2 - 3y^2 + 12y - 9)$$

krit. Punkte: $x=0$ oder $y=0 \Rightarrow x^2 = 9 \Rightarrow x_{1,2} = \pm 3$

$$\Leftrightarrow y^2 - 4y + 3 = 0 \quad y_{1,2} = 2 \pm \sqrt{4-3} = 1, 3$$

$$\Rightarrow \xi_1 = (0, 1), \xi_2 = (0, 3), \xi_3 = (3, 0), \xi_4 = (-3, 0)$$

Hesse-Matrix

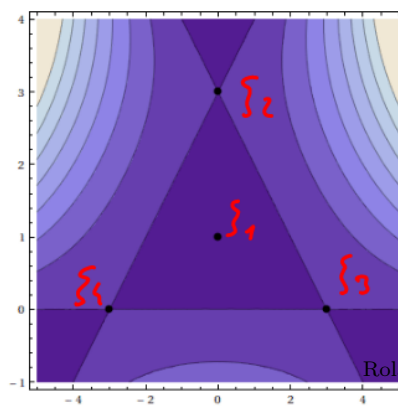
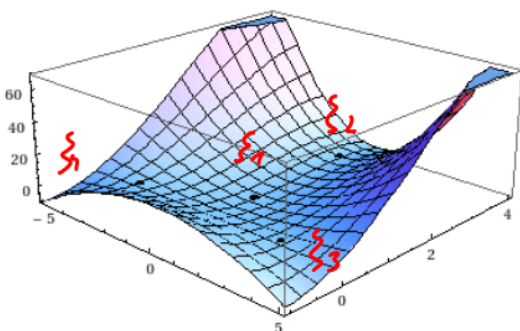
$$H_f(x,y) = \begin{pmatrix} 2y & 2x \\ 2x & -6y + 12 \end{pmatrix}$$

$$\Rightarrow \underline{H_f(0,1)} = \begin{pmatrix} 2 & 0 \\ 0 & 6 \end{pmatrix}, \Delta = 12 > 0, \varphi = 2 > 0 \stackrel{(iv)}{\Rightarrow} \text{pos. def.} \\ \stackrel{(v)}{\Rightarrow} \underline{\text{lok. Min in } (0,1)}$$

$$H_f(0,3) = \begin{pmatrix} 6 & 0 \\ 0 & -6 \end{pmatrix}, \Delta = -36 < 0 \stackrel{(iv)}{\Rightarrow} \text{indefinit} \\ \stackrel{(v)}{\Rightarrow} \underline{\text{Sattelpkt in } (0,3)}$$

$$H_f(3,0) = \begin{pmatrix} 0 & 6 \\ 6 & 12 \end{pmatrix}, \Delta = -36 < 0 \Rightarrow \text{indefinit} \\ \Rightarrow \underline{\text{Sattelpkt in } (3,0)}$$

$$H_f(-3,0) = \begin{pmatrix} 0 & -6 \\ -6 & 12 \end{pmatrix}, \Delta = -36 < 0 \Rightarrow \text{indefinit} \\ \Rightarrow \underline{\text{Sattelpkt in } (-3,0)}$$



[7] INTEGRATION

In diesem Kapitel wenden wir uns der Integralrechnung zu. Wie im Fall $n=1$ ersichtlich hatten der Integralrechnung 2 Aspekte an.

- (1) Berechnen der Fläche unter einem Funktionsgraphen
- (2) Berechnen von Stammfkt

Wir werden zunächst (2) aufgreifen und Stammfkt für VF v auf \mathbb{R}^n suchen, d.h. $\varphi: \mathbb{R}^n \rightarrow \mathbb{R}$ mit $v = \text{grad } \varphi$. Das wird prob gesprochen durch Herstellen einer 1-d Situation über Kurven erreicht; genau indem VF über Kurven integriert werden. Damit beschäftigen wir uns in §2. In §1 beschäftigen wir uns zur Vorbereitung mit Kurven.

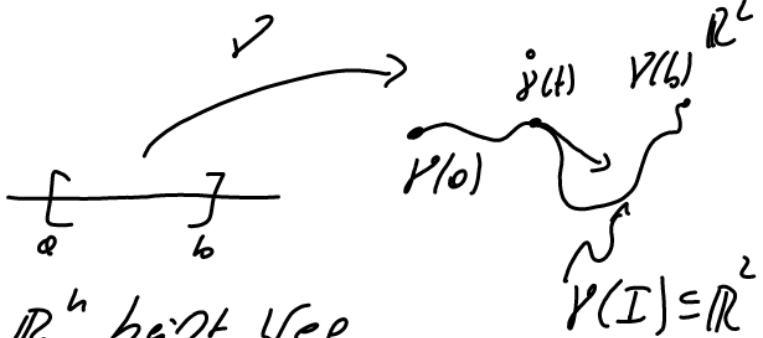
Aspekt (2) greifen wir in §3 auf wo wir den \mathbb{R} -Integralbegriff so erweitern, dass wir Volumina unter den Graphen skalarwertiger Fkt berechnen können.

Im abschließenden §4 beschäftigen wir uns mit Oberflächenintegralen & den Integralrechen von Stokes & Gauß, die weitgehende Verallgemeinerungen des HsDI darstellen.

§1 WEGE & KURVEN

1.1. DEF (Weg)

[GAMMA]



(i) Eine stetige Abb $\gamma: I \rightarrow \mathbb{R}^n$ heißt Weg.

Ist $I = [a, b]$ und $\gamma(a) = p$, $\gamma(b) = q$, dann heißt γ Weg von p nach q .

(ii) Sei $\gamma: I \rightarrow \mathbb{R}^n$ ein diffbarer Weg. Dann heißt $\dot{\gamma}(t) = D\gamma(t)$ Tangentenvektor an γ im Pkt $\gamma(t)$. [Falls $\dot{\gamma}(t) \neq 0$, dann heißt $\dot{\gamma}(t) / \|\dot{\gamma}(t)\|$ Tangenteneinheitsvektor.]

(iii) Ein C^1 -Weg $\gamma: I \rightarrow \mathbb{R}^n$ heißt regulär, falls $\dot{\gamma}(t) \neq 0 \forall t \in I$.

1.2 INTERPRETATION & BSP

(i) Kinematische Interpretation aus der Physik:

I ... Zeitintervall

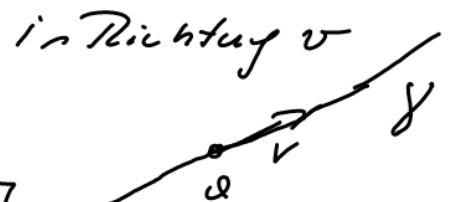
$\gamma(t)$... Ort eines Teilchens zum Zeitpunkt $t \in I$

$\dot{\gamma}(t)$... Momentangeschwindigkeit (s. vektor) [velocity]

$\|\dot{\gamma}(t)\|$... "Betrag" der Momentangeschw. [speed]

(ii) $a, 0 \neq v \in \mathbb{R}^n$, $\gamma: \mathbb{R} \rightarrow \mathbb{R}^n$, $\gamma(t) = a + tv$ Gerade durch a

$\dot{\gamma}(t) = v \forall t \Rightarrow \gamma$ ist regulärer Weg

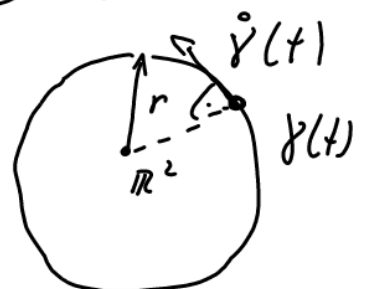


(iii) Sei $r > 0$, $I = [0, 2\pi]$ [vgl. (6) 2.4(ii)]

$$\gamma(t) = \begin{pmatrix} r \cos(t) \\ r \sin(t) \end{pmatrix}$$


Kreis um den Ursprung mit Radius r

$$\dot{\gamma}(t) = \begin{pmatrix} -r \sin(t) \\ r \cos(t) \end{pmatrix} \Rightarrow \dot{\gamma}(t) \perp \gamma(t) \forall t$$



$\|\dot{\gamma}(t)\| = r \Rightarrow$ reguläre Weg

(iv) Seien $r, c > 0$, $\gamma: \mathbb{R} \rightarrow \mathbb{R}^3$, $\gamma(t) = \begin{pmatrix} r \cos(t) \\ r \sin(t) \\ ct \end{pmatrix}$

$$\dot{\gamma}(t) = \begin{pmatrix} -r \sin(t) \\ r \cos(t) \\ c \\ \neq \\ 0 \end{pmatrix} \neq 0 \Rightarrow \text{reguläre Vep}$$


Schraubenlinie
vp [6] 2.4(i)

1.3 UEG vs KURVE

(i) Oft ist man weniger an der konkreten Fkt $\gamma: I \rightarrow \mathbb{R}^n$ interessiert als an ihrem Bild $\gamma(I)$, das man natürlich auch durch andere Fkt $\sigma: J \rightarrow \mathbb{R}^n$ (J ein Intervall) „erzeugen“ kann. Wir wollen alle solche Funktionen miteinander identifizieren. Dieser Prozess wird in den folgenden Definitionen.

(ii) Seien $I, J \subseteq \mathbb{R}$ Intervalle. Eine zulässige Parametertransformation ist eine C^1 -Fkt: $\varphi: I \rightarrow J$ mit $\varphi'(t) > 0 \forall t \in I$

Zwei Vep $\gamma: I \rightarrow \mathbb{R}^n$ und $\sigma: J \rightarrow \mathbb{R}^n$ heißen äquivalent, wenn es eine zulässige Parametertransfo $\varphi: I \rightarrow J$ gibt mit $\sigma \circ \varphi = \gamma$; wir schreiben dann $\gamma \sim \sigma$.

Es ist nicht schwer zu sehen, dass \sim eine Äquivalenzrelation auf der Menge aller Vep in \mathbb{R}^n definiert.

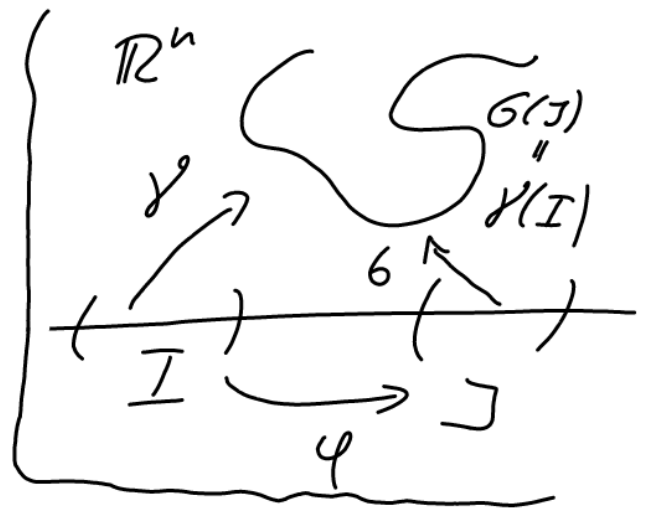
Ein orientierte reguläre Kurve C ist dann definiert als eine Äquivalenzklasse regulärer Vep. Jeder Repräsentant γ von C heißt dann eine Parametrisierung von C .

(iii) Veranschaulichung & Bsp

$$\gamma(t) = \begin{pmatrix} \cos(t) \\ \sin(t) \end{pmatrix} \quad 0 \leq t \leq 2\pi$$

$$G(t) = \begin{pmatrix} \cos(2t) \\ \sin(2t) \end{pmatrix} \quad 0 \leq t \leq \pi \quad \mathbb{R}$$

$$\gamma \sim G \text{ denn } \varphi: [0, 2\pi] \rightarrow [0, \pi] \\ t \mapsto t/2$$



ist zulässige Param. [$\varphi'(t) = 1/2 > 0 \forall t$] und

$$G \circ \varphi: [0, 2\pi] \rightarrow \mathbb{R}^2 \text{ mit}$$

$$G \circ \varphi(t) = G(t/2) = \begin{pmatrix} \cos(t) \\ \sin(t) \end{pmatrix} = \gamma(t).$$

1.4. BOGENLÄNGE

Wir wollen nun den Begriff „Länge einer Kurve“ präzisieren

(i) Sei $\gamma: [a, b] \rightarrow \mathbb{R}^n$ ein regulärer Weg, dann heißt

$$\mathcal{L}(\gamma) := \int_a^b \|\dot{\gamma}(t)\| dt$$

Weglänge von γ .

(ii) Bsp: $\gamma: [0, 2\pi]$, $\gamma(t) = \begin{pmatrix} \cos(t) \\ \sin(t) \end{pmatrix}$

$$\mathcal{L}(\gamma) = \int_0^{2\pi} \left\| \begin{pmatrix} -\sin(t) \\ \cos(t) \end{pmatrix} \right\| dt = \int_0^{2\pi} \sqrt{\sin^2(t) + \cos^2(t)} dt = \int_0^{2\pi} 1 dt = 2\pi$$

(iii) In der kinematischen Interpretation [vp.(1.2(ii))] ist $\|\dot{\gamma}(t)\|$ der Betrag der Momentenperchw. und somit entspricht $\mathcal{L}(\gamma)$ dem zurückgelegten Weg.

Eine andere Möglichkeit zu sehen, dass $\mathcal{L}(\gamma)$ die „Länge“ des Wegs beschreibt steht in der Aussage:

$L(\gamma) = \text{Limes der Gesamtlängen}$
 eingeschriebener Polygone
 [siehe Haus 2, 178]



(iv) Man kann zeigen, dass die Weglänge unabhängig von der Parametrisierung ist; genauer $\gamma \sim \sigma \Rightarrow L(\gamma) = L(\sigma)$.
 Daher kann der Begriff der Bogenlänge einer Kurve definiert werden. [genauer $L(c) = L(\gamma)$ für eine resp. jede Parametrisierung γ von c .]

(v) Parametrisierung nach der Bogenlänge: Um allen Parametrisierungen γ einer Kurve C ist eine ausgewzeichnet: die für die gilt $\|\dot{\sigma}(t)\| = 1 \forall t$.
 Das wird dadurch erreicht, dass der „neue Parameter“ gleich der Länge der Kurve ist; genauer sei $\gamma: [0, b] \rightarrow \mathbb{R}^n$ irgendeine Param. von C . Wir definieren

$$\varphi^{-1}(t) = \int_0^t \|\dot{\gamma}(s)\| ds, \quad \sigma = \gamma \circ \varphi: [0, L(\gamma)] \rightarrow \mathbb{R}^n.$$

Nun ist φ zulässige Parametrisierung, denn $(\varphi^{-1})'(t) = \|\dot{\gamma}(t)\|$
 $\Rightarrow \varphi'(s) = 1/(\varphi^{-1})'(\varphi(s)) = 1/\|\dot{\gamma}(\varphi(s))\| > 0$ [da γ regulär]

und es gilt $\dot{\sigma}(s) = \dot{\gamma}(\varphi(s)) \varphi'(s) = \dot{\gamma}(\varphi(s)) / \|\dot{\gamma}(\varphi(s))\|$
 also tatsächlich $\|\dot{\sigma}(s)\| = 1$.

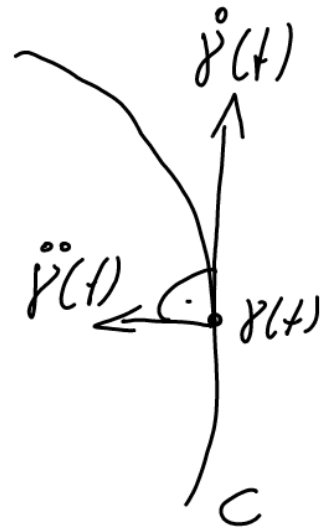
1.5 Ausblick (Krümmung - Differentialgeometrie)

Ist C eine Kurve mit Param. nach Bogenlänge σ .
 Dann gilt

$$1 = \|\dot{\gamma}(t)\|^2 = \langle \dot{\gamma}(t) | \dot{\gamma}(t) \rangle$$

$$\frac{d}{dt} \Rightarrow 0 = 2 \langle \ddot{\gamma}(t), \dot{\gamma}(t) \rangle \quad (*)$$

$\ddot{\gamma}$ sind Beschleunigungsvektoren genannt;
 (*) besagt $\ddot{\gamma}(t) \perp \dot{\gamma}(t)$ also enthält
 nur $\|\ddot{\gamma}(t)\|$ eine relevante/neue Information.



Die Größe $\|\ddot{\gamma}(t)\|$ wird Krümmung von C
 im Punkt $\gamma(t)$ genannt. Die Krümmung
 ist der Schlüsselbegriff des math.

Gebiets der DIFFERENTIALGEOMETRIE

Geometrie mit Hilfe der
 Differentialrechnung/Analysis

Kurven und Flächen im \mathbb{R}^n

werden im Rahmen der sog. ELEMENTAREN DIFF-GEOMETRIE studiert.

mögliches Seminar-
 3 Thema